

# یک روش مستقل از تباین برای دودویی کردن تصاویر متنی

مرتضی ولیزاده و احسان‌اله کبیر

روش‌های ارائه شده برای دودویی کردن تصاویر متنی را می‌توان به دو گروه عمده روش‌های کلی و روش‌های محلی تقسیم کرد. در روش‌های کلی با استفاده از ویژگی‌های همه نواحی تصویر، یک آستانه مشترک برای همه پیکسل‌های آن تصویر استخراج می‌شود و با مقایسه روش‌نایابی پیکسل‌های تصویر با آستانه به دست آمده، تصویر دودویی تولید می‌شود. روش آستانه‌یابی بر مبنای خوشه‌یابی [۱]، کمینه کردن آنتروپوی [۲] و یافتن دره هیستوگرام [۳] معروف‌ترین روش‌های آستانه‌یابی عمومی هستند. با توجه به این که در بعضی از قسمت‌های تصویر آسیب‌دیده، پس‌زمینه تیره‌تر از نواحی متنی موجود در سایر قسمت‌های همان تصویر است، آستانه‌یابی عمومی برای دودویی کردن تصاویر متنی آسیب‌دیده مناسب نیست و برای این تصاویر عموماً از روش‌های آستانه‌یابی محلی استفاده می‌شود.

در روش‌های آستانه‌یابی محلی، هر پیکسل با توجه به ویژگی‌های همسایه‌هایش برچسب متن یا پس‌زمینه می‌گیرد. در بعضی از این روش‌ها، فقط از سطوح خاکستری پیکسل‌های همسایه برای آستانه‌یابی استفاده می‌شود [۴] تا [۷] و دسته دیگر از آنها از ویژگی‌های عرض قلم [۸] تا [۱۱] و ساختار لبه‌ها [۱۲] تا [۱۴] برای بهبود کیفیت آستانه‌یابی بهره می‌برند. اخیراً از روش‌های یادگیری ماشین نیز برای آستانه‌یابی محلی تصاویر متنی استفاده می‌شود. در آنها از هر پیکسل یک بردار ویژگی استخراج شده و به یک طبقه‌بند آموزش دیده داده می‌شود و طبقه‌بند آن را به عنوان متن یا پس‌زمینه طبقه‌بندی می‌کند [۱۵]. ارزیابی روش‌های آستانه‌یابی محلی نشان می‌دهد [۱۶] و [۱۷] که هیچ یک از آنها نیز برای دودویی کردن همه انواع تصاویر آسیب‌دیده مناسب نیستند و هر یک از روش‌های ارائه شده برای آسیب‌های خاصی کارایی دارند. همچنین اکثر روش‌های ارائه شده دارای چندین پارامتر از پیش تعیین شده هستند که قابلیت سازگاری با شرایط مختلف تباین را ندارند. در این قسمت چند نمونه از روش‌های آستانه‌یابی محلی معروف و مشکلات آنها را بررسی می‌کنیم.

در [۷] الگوریتمی مطابق (۱) برای دودویی کردن تصاویر متنی ارائه شده است که سطح آستانه به طور محلی و با جایه‌جایی یک پنجره روی تصویر تعیین می‌شود. آستانه  $T$  برای پیکسل واقع در مرکز پنجره، با محاسبه میانگین و واریانس سطوح روش‌نایابی پیکسل‌های واقع در داخل پنجره تعیین می‌شود

$$(1) \quad T = m + ks$$

که در آن  $m$  و  $s$  به ترتیب متوسط و واریانس روش‌نایابی پیکسل‌های داخل پنجره را نشان می‌دهند.  $k$  یک مقدار ثابت است که برای تصاویر متنی ۰-۰۲ در نظر گرفته می‌شود. این الگوریتم در نزدیکی نواحی متنی به طور مؤثر متن را استخراج می‌کند ولی در نواحی ای که متن وجود ندارد، نویز پس‌زمینه را تقویت می‌کند به طوری که بسیاری از پیکسل‌های پس‌زمینه به عنوان متن در نظر گرفته می‌شوند.

در [۵]، (۱) با در نظر گرفتن سطوح روش‌نایابی نواحی متنی و پس‌زمینه به صورت (۲) اصلاح شده است

چکیده: در این تحقیق یک روش مستقل از تباین برای دودویی کردن تصاویر متنی آسیب‌دیده ارائه می‌شود. این روش به تنظیم پارامتر توسط کاربر نیاز ندارد و برای دودویی کردن تصاویر متنی با آسیب‌های تباین کم و غیر یکنواختی روش‌نایابی پس‌زمینه و متن مناسب است. آستانه‌یابی با روش ارائه شده شامل سه مرحله است. در مرحله اول، مستقل از تباین متن و پس‌زمینه، قسمت‌های بازه هر یک از حروف با روش بارش باران اصلاح شده استخراج می‌شود. الگوریتم بارش باران اصلاح شده برای استخراج قسمت‌های بازه حروف طراحی شده است و مشکلات روش بارش باران را شامل نمی‌شود. در مرحله دوم با استفاده از نواحی متنی استخراج شده، روش‌نایابی نواحی متنی به طور محلی تخمین زده می‌شود. همچنین با توجه به این که در تصاویر متنی تعداد پیکسل‌های بازه از مقایسه با پیکسل‌های پس‌زمینه ناچیز است، روش‌نایابی پس‌زمینه یا میانگین‌گیری از روش‌نایابی تصویر اصلی به طور محلی تخمین زده می‌شود. در مرحله سوم برای هر پیکسل، حد آستانه با استفاده از تخمین روش‌نایابی پس‌زمینه و متن محاسبه می‌شود. این روش آستانه‌یابی به طور بصیر و کمی با چهار روش متدالو ای از آستانه‌یابی مقایسه شده است و نتایج ارزیابی نشان می‌دهد که روش پیشنهادی برای دودویی کردن تصاویر متنی که با دوربین گرفته شده‌اند نسبت به روش‌های متدالو برتری دارد و نواحی متنی با تباین کم را به خوبی استخراج می‌کند.

**کلید واژه:** آستانه‌یابی محلی، تصاویر متنی آسیب‌دیده، مدل جریان آب، تخمین روش‌نایابی، مستقل از تباین.

## ۱- مقدمه

در سال‌های اخیر تحقیقات زیادی در زمینه تحلیل اسناد متنی انجام شده است. به طور کلی یک سیستم تحلیل اسناد متنی از چهار بخش اصلی اخذ تصویر، دودویی کردن، قطعه‌بندی تصویر و بازناسانی متن تشکیل می‌شود. کیفیت دودویی کردن تصویر کارایی مراحل بعدی را تحت تأثیر قرار می‌دهد، بنابراین این بخش یکی از مراحل مهم در تحلیل اسناد متنی محسوب می‌شود. با وجود این که تحقیقات زیادی در زمینه دودویی کردن تصاویر متنی انجام شده است، هنوز دودویی کردن تصویر متنی در شرایطی که روش‌نایابی پس‌زمینه و متن در نواحی مختلف تصویر متفاوت است، جذابیت پژوهشی دارد. از سویی دیگر با پیشرفت دوربین‌های دیجیتال، تعداد تصاویر متنی که توسط این دوربین‌ها تهیه می‌شوند به سرعت افزایش یافته است. این تصاویر دارای آسیب‌هایی از قبیل غیر یکنواخت بودن روش‌نایابی پس‌زمینه و نواحی متنی، تباین کم و متغیر بین متن و پس‌زمینه و نویز دوربین هستند و بسیاری از روش‌های متدالو برای دودویی کردن آنها مناسب نیستند.

این مقاله در تاریخ ۲۳ فوریه ماه ۱۳۸۸ دریافت و در تاریخ ۱ دی ماه ۱۳۸۸ بازنگری شد. این پژوهش با استفاده از پشتیبانی مرکز تحقیقات مخابرات ایران بر اساس فرادراد شماره ۴۶۸۳/۵۰۰-۱۴۱۵ مراجعت شده است. مرتضی ولی‌زاده، بخش مهندسی برق، دانشگاه تربیت مدرس، تهران، کدپستی (email: valizadeh@modares.ac.ir) ۱۴۱۵-۱۴۳۳. احسان‌اله کبیر، بخش مهندسی برق، دانشگاه تربیت مدرس، تهران، کدپستی (email: kabir@modares.ac.ir) ۱۴۱۵-۱۴۳۳.

و انحراف معیار تولید می‌شود. سپس با استفاده از چندین قاعده ساده، لبه‌های متن تشخیص داده می‌شود. این روش برای حذف پس‌زمینه‌های با تغییرات سریع مناسب نیست و همچنین به سه پارامتر از پیش تعیین شده نیاز دارد که به ویژگی‌های تصویر وابسته هستند. در [۲۰] از این داشت که نواحی متنی به طور محلی تیره‌تر از نواحی پس‌زمینه هستند استفاده شده و یافتن پیکسل‌های متنی به یک مسئله یافتن کمینه‌های محلی تبدیل شده است. در این روش مقادیر روشنایی تصویر مانند پستی و بلندی زمین در نظر گرفته شده و از مدل بارش باران<sup>۱</sup> برای دودویی کردن تصویر متنی استفاده شده است. این روش به طور محلی نواحی متنی را از همسایه‌های آنها تمایز می‌کند ولی چندین مشکل اساسی دارد. مشکل اصلی آن نبودن معیاری برای توقف بارش باران است. مشکل دوم یکسان‌نبودن تعداد بهینه مراحل بارش برای نواحی مختلف تصویر است. همچنین حجم محاسبات این روش خیلی زیاد است.

هدف اصلی مقاله ارائه روشی وفقی برای دودویی کردن تصاویر متنی آسیب‌دیده و اصلاح آسیب‌های آنهاست. با توجه به این که اطلاعی درباره روشنایی پس‌زمینه و نواحی متنی و تباين بین آنها نداریم، در الگوریتم پیشنهادی ابتدا با استفاده از یک روش مستقل از تباين، قسمت‌های بارز هر یک از حروف استخراج می‌شود و روشنایی نواحی متنی تخمین زده می‌شود و نیز با در نظر گرفتن این که تعداد پیکسل‌های پس‌زمینه خیلی بیشتر از پیکسل‌های متنی است، با میانگین‌گیری روشنایی پیکسل‌های تصویر اصلی، روشنایی پس‌زمینه به طور محلی تخمین زده می‌شود. سپس آستانه‌ای به صورت میانگین روشنایی نواحی متنی و پس‌زمینه محاسبه شده و برای دودویی کردن تصویر استفاده می‌شود. با توجه به این که الگوریتم پیشنهادی به طور محلی و مستقل از تباين، آستانه‌ای با فاصله بیشینه از سطح روشنایی متن و پس‌زمینه را محاسبه می‌کند، برای دودویی کردن تصاویر متنی با تباين کم و متغیر و تصاویر که روشنایی متن و پس‌زمینه در آنها متغیر است، مناسب است. این الگوریتم به تنظیم پارامتر توسط کاربر نیاز ندارد و برای انواع گوناگونی از تصاویر متنی آسیب‌دیده مناسب است.

این مقاله از ۶ بخش تشکیل شده است. در بخش ۲ روشی مستقل از تباين برای استخراج قسمت‌هایی از نواحی متنی ارائه می‌شود. بخش ۳ به تخمین روشنایی نواحی متنی و پس‌زمینه می‌پردازد. در بخش ۴ چگونگی استخراج آستانه محلی و دودویی کردن تصویر متنی تشریح می‌شود. در بخش ۵ الگوریتم پیشنهادی ارزیابی شده و بخش ۶ به نتیجه‌گیری اختصاص داده می‌شود.

## ۲- استخراج قسمت‌های بارز نواحی متنی

در این مرحله قصد داریم مستقل از تباين بین متن و پس‌زمینه و روشنایی آنها، به طور محلی قسمت‌های بارز نواحی متنی را استخراج کنیم. اکثر روش‌های محلی برای دودویی کردن تصویر متنی، دارای پارامترهایی هستند که به تباين متن و پس‌زمینه وابسته هستند و برای این کاربرد مناسب نیستند، ولی با اصلاح روش بارش باران می‌توان از آن به عنوان روشی مستقل از تباين برای استخراج قسمت‌های بارز نواحی متنی استفاده کرد. برای بیان روش بارش باران اصلاح شده، ابتدا به تشریح الگوریتم بارش باران پایه می‌پردازیم و سپس تغییرات ایجاد شده در آن را شرح می‌دهیم.

$$T = m \left( 1 - k \left( 1 - \frac{S}{R} \right) \right) \quad (2)$$

که در آن مقدار  $k$  برابر با  $0.5$  و مقدار  $R$  برای تصاویر با سطح خاکستری،  $128$  در نظر گرفته شده است. با این تدبیر برای تصاویر متنی با تباين خوب نتایج خوبی به دست می‌آید ولی این روش به تباين بین متن و پس‌زمینه حساسیت زیادی دارد و نواحی متنی با تباين کم از بین می‌روند. برای این که این روش برای تصاویر مختلف کارایی خوبی داشته باشد، باید پارامترهای  $k$  و  $R$  با توجه به ویژگی‌های تصویر به طور محلی تنظیم شوند.

در [۱۸] برای تنظیم وفقی پارامترهای روش‌های آستانه‌یابی به صورت زیر عمل شده است. ابتدا بر اساس یک ویژگی که معرف تباين ناحیه‌ای است، تصویر اصلی به تصاویر کوچک‌تر تقسیم می‌شود. سپس با استخراج سه ویژگی از هر ناحیه و طبقه‌بندی آن، یکی از برچسب‌های پرنگ، کمرنگ، پرنگ-کمرنگ و پس‌زمینه به آن ناحیه زده می‌شود و بر اساس برچسب هر ناحیه پارامترهای مناسبی به آن اختصاص داده می‌شود. در این مرجع از ویژگی‌های متوسط روشنایی و اندازه گردایان برای تعیین آستانه استفاده شده است و طبق (۳) پارامترها تنظیم می‌شوند

$$T(x, y) = wM(x, y) + kG_N(x, y) \quad (3)$$

where:	$\begin{cases} \text{if background , } & w = 0, k = 0 \\ \text{if faint , } & w = 0.5, k = -1/1 \\ \text{if heavy , } & w = 0.7, k = -0.8 \\ \text{if heavy with faint , } & w = 0.7, k = -1/1 \end{cases}$
--------	---

در [۶] از ترکیب آستانه‌یابی کلی و محلی برای دودویی کردن تصویر متنی استفاده شده است. در این روش اگر فاصله بین روشن‌ترین و تیره‌ترین پیکسل داخل یک پنجرهه محلی از یک آستانه از پیش تعیین شده بیشتر باشد، متوسط آنها به عنوان حد آستانه برای پیکسل واقع در مرکز آن پنجرهه در نظر گرفته می‌شود. در غیر این صورت از آستانه کلی برای دودویی کردن آن پیکسل استفاده می‌شود. این روش برای حالتی که تغییرات روشنایی پس‌زمینه در داخل یک پنجرهه زیاد باشد، کارایی ندارد و قسمت‌هایی از پس‌زمینه به عنوان متن در نظر گرفته می‌شود. همچنین اگر تباين بین متن و پس‌زمینه از حد آستانه از پیش تعیین شده کمتر باشد، متن به احتمال زیاد به عنوان پس‌زمینه در نظر گرفته شده و حذف می‌شود.

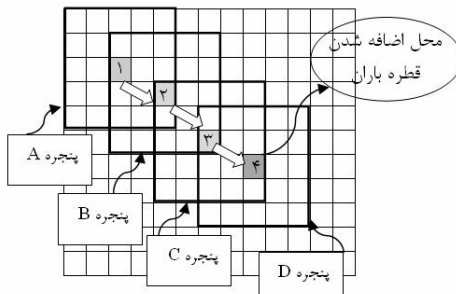
در [۴] ابتدا با استفاده از آستانه‌یابی و درون‌یابی، روشنایی پس‌زمینه تخمین زده می‌شود و برای هر پیکسل اختلاف روشنایی آن در پس‌زمینه آستانه و تصویر اصلی محاسبه می‌شود. اگر این اختلاف از یک حد تخمینی و فقی بیشتر باشد آن پیکسل به عنوان متن در نظر گرفته می‌شود و در غیر این صورت به عنوان پس‌زمینه برای حالتی که تباين متن و پس‌زمینه در آستانه‌یابی و تخمین پس‌زمینه برای حالتی که تباين متن و پس‌زمینه کم است به خوبی انجام نمی‌شود و نواحی متنی از بین می‌روند. همچنین تعیین آستانه و فقی در این روش به سه پارامتر از پیش تعیین شده نیاز دارد که تنظیم مناسب این پارامترها وابسته به تصویر است.

در [۱۹] از این قاعده استفاده شده است که در لبه‌های اشیا فرکانس محلی بالاست. ابتدا لبه‌های اشیا تشخیص داده می‌شوند و سپس نواحی بین این لبه‌ها پر می‌شوند. برای استخراج لبه‌های نواحی متنی، یک تصویر کمکی با در نظر گرفتن همسایه‌های هشت‌تایی هر پیکسل ساخته می‌شود و برای نواحی کوچک تصویر، متوسط و انحراف معیار روشنایی تصویر کمکی محاسبه می‌شود. با درون‌یابی این مقادیر دو تصویر میانگین



شکل ۲: (الف) تصویر آسیب‌دیده مصنوعی، (ب) تصویر دودویی بعد از ۵ مرحله بارش، (ج) تصویر دودویی بعد از ۱۵ مرحله بارش و (د) تصویر دودویی بعد از ۲۵ مرحله بارش.

و همچنین برای بررسی اثر تغییرات سریع روش‌نایابی پس‌زمینه، یک لکه بر روی نوشته‌ها ایجاد شده است. برای نشان دادن حذف قسمت‌های کمرنگ حروف و ایجاد شکستگی در آنها، قسمت‌هایی از حروف کمرنگ شده است. در مثال شکل ۲ مشاهده می‌شود که در روش بارش باران نه تنها معیاری برای توقف بارش باران وجود ندارد، برای تصاویری که ویژگی‌های آن در نواحی مختلف تصویر متفاوت است، تعداد مناسب تکرار الگوریتم بارش برای نواحی مختلف تصویر متفاوت است و اگر به درستی تعیین نشود ممکن است باعث حذف نواحی متنه شود و یا قسمت‌هایی از پس‌زمینه به عنوان متن معرفی شوند. برای مثال در شکل ۲ - ب تعداد تکرار الگوریتم بارش برای استخراج عبارت "Faint Region" مناسب است ولی برای حذف کامل پس‌زمینه کافی نیست و در شکل ۲ - د تعداد تکرار الگوریتم بارش برای حذف کامل پس‌زمینه و اصلاح شکستگی‌های عبارت "An example" مناسب است ولی برای استخراج عبارت "Faint Region" مناسب نیست و باعث حذف آن می‌شود. با توجه به این که عملکرد روش پیشنهادی برای دودویی کردن تصاویر متنه وابستگی زیادی به کیفیت حذف پس‌زمینه و حفظ قسمت‌هایی از هر حرف دارد، باید روش بارش باران به‌نحوی اصلاح شود که قسمت‌هایی از هر حرف را استخراج و پس‌زمینه را به‌طور کامل حذف کند و تا حد ممکن مستقل از تباین بین متن و پس‌زمینه باشد. البته فرض می‌کنیم که تباین



شکل ۱: فرایند جستجو برای یافتن کمینه محلی.

## ۱-۲ روش بارش باران

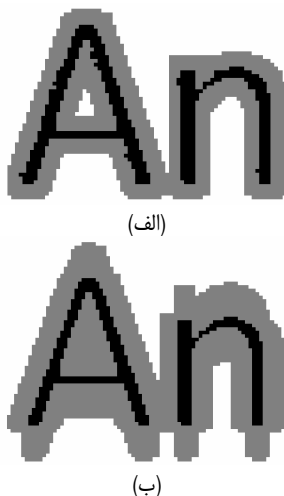
در روش بارش باران [۲۰]، روش‌نایابی هر پیکسل از تصویر متنی به عنوان ارتفاع یک نقطه از سطح زمین در نظر گرفته می‌شود و بارش باران بر روی همه نقاط سطح زمین انجام می‌شود. قطره‌های باران به سمت نواحی با ارتفاع کمتر حرکت می‌کنند و در آن نواحی جمع می‌شوند. شکل ۱ چگونگی حرکت قطره باران برای یافتن نقطه کمینه محلی و قرار گرفتن در آن را نشان می‌دهد.

برای بیان چگونگی حرکت قطره باران از مثال شکل ۱ استفاده می‌کنیم. فرض کنید که قطره باران در نقطه ۱ فرود آید، ارتفاع نقاط داخل پنجره‌ای به ابعاد  $W \times W$  و مرکزیت نقطه ۱ برسی می‌شود. اگر نقطه ۱ کمینه محلی باشد، قطره به همان نقطه اضافه می‌شود و در غیر این صورت، مرکز پنجره جستجو به نقطه کمینه محلی انتقال داده می‌شود (نقطه ۲) و کمینه محلی جدید در داخل پنجره جدید جستجو می‌شود. این الگوریتم تا وقتی که مرکز پنجره به عنوان کمینه محلی معروفی شود (نقطه ۴) ادامه پیدا می‌کند. در مثال ارائه شده بعد از ۴ بار جستجوی کمینه محلی، مرکز پنجره به عنوان کمینه محلی معرفی شده و قطره باران به آن نقطه از زمین اضافه می‌شود. با اضافه شدن قطره باران به یک نقطه از زمین، ارتفاع آن به اندازه یک واحد افزایش پیدا می‌کند. با بارش باران بر روی همه نواحی، آب در نواحی پست جمع شده و باعث افزایش ارتفاع آن نواحی می‌شود. فرایند بارش به تعداد مشخصی که از پیش تعیین شده است، تکرار و سپس متوقف می‌شود.

پس از توقف بارش باران، چاله‌های آب استخراج و متوسط ارتفاع سطح آب هر چاله به کل نقاط آن اختصاص داده می‌شود و ارتفاع سطح هر نقطه پس از بارش باران به دست می‌آید. با کم کردن ارتفاع سطح اولیه هر نقطه از ارتفاع سطح آن پس از بارش باران، مقدار آب جمع شده بر روی هر نقطه از سطح زمین به دست می‌آید. با دودویی کردن مقدار آب جمع شده بر روی سطح زمین، تصویر دودویی حاصل می‌شود. تعداد مراحل بارش باران مهم‌ترین پارامتر این الگوریتم است که متأسفانه روشی برای تعیین آن ارائه نشده است.

## ۲-۲ مشکلات روش بارش باران

در این روش اگر تعداد تکرار الگوریتم بارش باران کم باشد، قسمت‌های کمرنگ حروف حذف می‌شوند و در حروف شکستگی ایجاد می‌شود و همچنین قسمت‌هایی از پس‌زمینه به عنوان متن در نظر گرفته می‌شوند. اگر تعداد مراحل باران زیاد باشد، ممکن است بعضی از نواحی متنه که تباین آنها با پس‌زمینه کم است، حذف شوند. برای نشان دادن مشکلات بیان شده از شکل ۲ - الف استفاده می‌کنیم و بهازای مقدار مختلف تکرار الگوریتم بارش باران، تصویر دودویی را تولید می‌کنیم. در این تصویر مصنوعی نوشته‌های پررنگ و کمرنگ وجود دارد



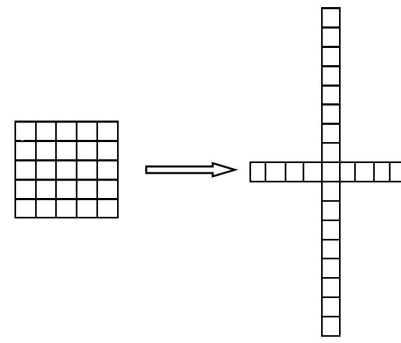
شکل ۴: ناحیه‌ای از پس‌زمینه که آب آن به ناحیه متنه کشیده شده است. (الف) ناحیه جستجوی مربعی و (ب) ناحیه جستجوی پیشنهادی.

دارد و با توجه به نزدیکی حروف در راستای افقی، ناحیه جستجو در این راستا کشیدگی کمتری دارد. در شکل ۴ مساحت قسمتی از پس‌زمینه که آب آن به ناحیه متنه سازیزیر می‌شود، برای ناحیه جستجوی مربعی و ناحیه جستجوی پیشنهادی نشان داده شده است. در شکل ۴ رنگ خاکستری نشان‌دهنده نواحی پس‌زمینه است که آب آنها به نواحی متنه سازیزیر شده است. مشاهده می‌شود که با پنجره جستجوی پیشنهادی، مساحت ناحیه‌ای از پس‌زمینه که در رقابت با ناحیه متنه قرار می‌گیرد افزایش پیدا کرده و باعث افزایش میزان آب جمع شده در نواحی متنه و در نتیجه افزایش تمایز بین متنه و پس‌زمینه می‌شود.

### ۲-۳-۳ اختصاص میزان آب یکسان به همه نقاط یک چاله

در الگوریتم بارش باران به همه نواحی یک چاله سطح آب یکسان اختصاص داده می‌شود، بنابراین پس از کم کردن ارتفاع سطح اولیه از ارتفاع سطح پس از بارش باران، مقدار آب در نواحی مختلف یک چاله متفاوت خواهد بود. این امر باعث می‌شود تا قسمت‌هایی از پس‌زمینه که تیره‌تر از همسایه‌های خود هستند، به عنوان متنه در نظر گرفته شوند. ولی ما به همه نواحی یک چاله، متوسط آب آن چاله را اختصاص می‌دهیم. این کار باعث می‌شود تا میزان آب نواحی تیره پس‌زمینه با میزان آب سایر نواحی پس‌زمینه که با نواحی تیره چاله مشترکی تشکیل می‌دهند، متوسط‌گیری و تعديل شود. در نتیجه نواحی تیره پس‌زمینه در مرحله آستانه‌یابی به عنوان متنه در نظر گرفته نمی‌شوند. شکل ۵ تفاوت روش پیشنهادی را با روش پایه بارش باران به طور آشکار نشان می‌دهد. پس از آستانه‌یابی یک تفاوت عمده بین روش پیشنهادی و روش پایه بارش باران ایجاد می‌شود. در روش پیشنهادی به همه نقاط یک چاله برچسب یکسان متن یا پس‌زمینه زده می‌شود ولی در روش پایه ممکن است بعضی از نقاط یک چاله برچسب متن و سایر نقاط آن برچسب پس‌زمینه بگیرند. ممکن است این نگرانی به وجود آید که اگر نواحی متنه با قسمتی از پس‌زمینه چاله‌های مشترک تشکیل دهند، با الگوریتم پیشنهادی حذف خواهند شد. خوشبختانه چنین حالتی تقریباً هیچ وقت به وجود نمی‌آید. دلیل عدم اتصال چاله‌های متنه به پس‌زمینه را توأم با چگونگی یافتن چاله‌ها بررسی می‌کنیم. برای یافتن چاله‌ها به صورت زیر عمل می‌شود.

با کم کردن ارتفاع سطح اولیه از ارتفاع سطح پس از بارش باران، مقدار آب جمع شده در هر نقطه به دست می‌آید که آن را با<sup>۱</sup> WA نشان می‌دهیم



شکل ۵: تغییر شکل ناحیه جستجو.

بین متنه و پس‌زمینه از ۱۰ سطح خاکستری بیشتر است که برای تصاویر با ۲۵ سطح خاکستری معمولاً این فرض برقرار است.

### ۲-۳ اصلاح روش بارش باران

همان‌طور که در شکل ۲-۲ ب نشان داده شد، اگر تعداد مراحل بارش باران کم باشد، نواحی متنه با تباين کم حفظ می‌شوند ولی قسمت‌هایی از پس‌زمینه به عنوان متنه معرفی می‌شوند. بنابراین در این مقاله برای جلوگیری از حذف نواحی متنه با تباين کم و افزایش سرعت، فقط از یک مرحله بارش باران برای استخراج نواحی متنه استفاده می‌شود و برای حذف پس‌زمینه تمیزدات زیر در نظر گرفته می‌شود.

### ۲-۳-۱ هموارسازی تصویر متنه

در روش‌های دودویی کردن تصاویر متنه نمی‌توان از فیلترهای پایین‌گذر برای حذف نویز استفاده کرد، زیرا این کار باعث مات‌شدن لبه‌های حروف و چسبیدن آنها به یکدیگر می‌شود. ولی با توجه به این که هدف ما در این مرحله دودویی کردن تصویر متنه نیست و فقط می‌خواهیم قسمت‌هایی از متنه را استخراج کنیم، با استفاده از یک پنجره ۵x۵ تصویر متنه را هموار می‌کنیم و از آن به عنوان یک تصویر کمکی برای استخراج قسمت‌هایی از متنه استفاده می‌کنیم. برای تولید تصویر دودویی نهایی از تصویر فیلترنشده استفاده خواهیم کرد. بعد پنجره فیلتر هموارساز با در نظر گرفتن عرض قلم در مجموعه تصاویر انتخاب شده است. بعد این فیلتر باید از عرض قلم کوچک‌تر باشد تا حداقل قسمت‌هایی از هر حرف وجود داشته باشد که سطوح خاکستری آنها تحت تأثیر سطوح خاکستری پس‌زمینه قرار نمی‌گیرند. در تصاویر استفاده شده عرض قلم بین ۶ تا ۸ متفاوت است.

### ۲-۳-۲ تغییر شکل ناحیه جستجو

برای افزایش میزان آبی که در یک مرحله بارش باران از نواحی پس‌زمینه به داخل نواحی متنه سازیزیر می‌شود، ناحیه جستجوی کمینه محلی را مطابق شکل ۳ تغییر می‌دهیم.

با این تغییر شکل ناحیه جستجو، تعداد مقایسه‌ها برای یافتن کمینه محلی مانند حالت قبل، ۲۵ عدد باقی می‌ماند ولی میزان آبی که با یک مرحله بارش باران به نواحی متنه سازیزیر می‌شود افزایش پیدا می‌کند و باعث افزایش تمایز بین نواحی متنه و پس‌زمینه می‌شود.

ناحیه جستجو برای یافتن کمینه محلی به نحوی انتخاب شده است که نواحی متنه برای جذب آب با نواحی پس‌زمینه بیشتری رقابت کنند ولی با نواحی متنه مجاور رقابتی نداشته باشند تا این که یک حرف پررنگ در رقابت با حروف کم رنگی که در مجاورت آن قرار دارند، باعث حذف آنها نشود. با توجه به این که فاصله بین خطوط متنه از هم زیاد است (حدود ۵۰ تا ۱۰۰ پیکسل)، ناحیه جستجو در راستای عمودی کشیدگی زیادی

### ۲-۴ آستانه‌یابی و استخراج نواحی بارز متن

با آستانه‌یابی مقدار آب به دست آمده با الگوریتم پیشنهادی،<sup>۱</sup> تصویر دودویی به دست می‌آید که در آن قسمت‌های بارز نواحی متنی استخراج شده و پس‌زمینه با دقت خوبی حذف می‌شود. باید به این نکته توجه داشت که مقدار آبی که با الگوریتم پیشنهادی به دست می‌آید از لحاظ فیزیکی تعبیر خاصی ندارد و با میزان آب واقعی که بر روی سطح زمین جمع می‌شود متفاوت است.

در روش پایه بارش باران از الگوریتم آستانه‌یابی کلی استفاده شده است که بر اساس کمینه کردن تغییرات درون کلاسی کار می‌کند.<sup>[۱]</sup> این روش آستانه‌یابی برای الگوریتم پایه بارش باران به خوبی کارآمد است، زیرا تعداد مراحل بارش باران زیاد است و بین نواحی متنی و پس‌زمینه به اندازه کافی تمایز ایجاد شده است. ولی برای روش پیشنهادی که فقط از یک مرحله بارش باران استفاده می‌کند، در مواقعي که مساحت نواحی متنی نسبت به پس‌زمینه خیلی کم باشد ممکن است حد آستانه را کمتر از مقدار بهینه تخمین بزند و به تبع آن قسمتی از پس‌زمینه به عنوان متن در نظر گرفته شود. برای جلوگیری از چنین حالت‌هایی از دانش اولیه‌ای که درباره میزان آب نواحی متنی و پس‌زمینه داریم، استفاده می‌کنیم.

نواحی متنی از دو طرف با پس‌زمینه در ارتباط هستند و تجربه نشان می‌دهد که مساحت نواحی پس‌زمینه که آب آنها به نواحی متنی سازیر می‌شود، از دو برابر نواحی متنی بیشتر است. بنابراین متوسط مقدار آب جمع شده در نواحی متنی پس از یک بار بارش باران، از سه واحد بیشتر می‌شود در حالی که مقدار متوسط آب در نواحی پس‌زمینه کمتر از این مقدار است. این دانش می‌تواند طبق (۵) با مقدار آستانه کلی ترکیب شود و نواحی متنی را استخراج کند. شرط  $\max(3, Th)$  در (۵) باعث می‌شود تا در موقعي که آستانه کمتر از حد بهینه تخمین زده می‌شود از دانش اولیه به عنوان آستانه استفاده شود

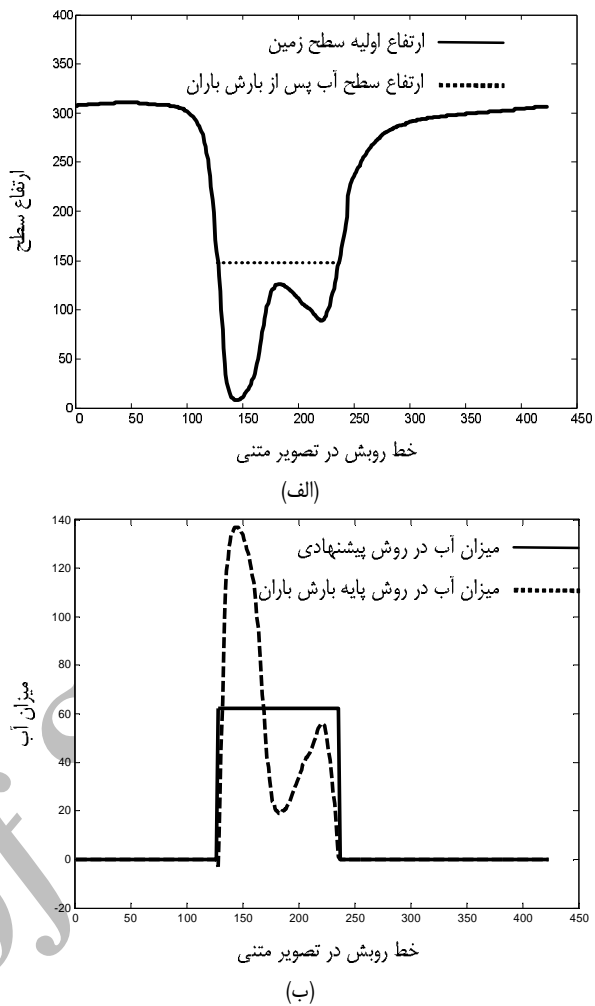
$$PTR(x, y) = \begin{cases} 1 & PWA(x, y) \geq \max(3, Th) \\ 0 & \text{otherwise} \end{cases} \quad (5)$$

در این رابطه  $PTR$ <sup>۲</sup> بیانگر تصویری است که در آن قسمت‌های بارز نواحی متنی استخراج شده است و  $Th$  معرف آستانه کلی به دست آمده با روش [۱] است.

شکل ۶ نتایج استخراج قسمت‌های بارز نواحی متنی تصویر شکل ۲-۲ الف را برای روش‌های بارش باران پایه و پیشنهادی پس از یک مرحله بارش نشان می‌دهد. مشاهده می‌شود که روش بارش باران پیشنهادی پس از یک مرحله بارش قادر به استخراج متن و حذف پس‌زمینه نیست. پس از استخراج قسمت‌های بارز هر حرف، از آنها برای تخمین روشنایی نواحی متنی استفاده می‌شود.

### ۳- تخمین محلی روشنایی متن و پس‌زمینه

هدف اصلی الگوریتم ارائه شده برای استخراج قسمت‌های بارز نواحی متنی، تخمین روشنایی متن است. برای این منظور به صورت زیر عمل می‌شود.



شکل ۵: (الف) ارتفاع اولیه سطح زمین و سطح آب پس از بارش باران و (ب) مقایسه میزان آب نقاط داخل یک چاله با روش پیشنهادی و روش پایه بارش باران.

و تصویر دودویی کمکی  $B$  را برای یافتن چاله‌ها مطابق (۶) تولید می‌کنیم

$$B(x, y) = \begin{cases} 1 & WA(x, y) > 0 \\ 0 & \text{otherwise} \end{cases} \quad (6)$$

که در آن  $x$  و  $y$  نشان‌دهنده مختصات پیکسل است. با برچسب زدن به عناصر متصل به هم در تصویر  $B$ ، چاله‌های موجود در تصویر استخراج می‌شوند. حال به بررسی این موضوع می‌پردازیم که تحت چه شرایطی ممکن است چاله متناظر با نواحی متنی به نواحی پس‌زمینه متصل شود. اگر در نقاط متناظر با پیکسل‌های پس‌زمینه که در همسایگی ناحیه متنی قرار دارند حداقل یک قطره آب جمع شود، چاله متناظر با نواحی متنی ممکن است به پس‌زمینه متصل شود. با توجه به این نقاط برای جذب آب در رقابت با نواحی متنی هستند، فقط زمانی آب بر روی آنها جمع می‌شود که چاله‌های متنی لبریز شده باشند. اما به دلیل این که فقط یک بار بارش باران انجام می‌شود. احتمال لبریزشدن نواحی متنی و پس‌زمینه به طور محلی بیشتر از ۱۰ واحد است و تجربه نشان می‌دهد که با یک بار بارش چاله‌هایی به عمق ۱۰ واحد هرگز لبریز نمی‌شوند.

دلیل این که در روش پایه بارش باران نمی‌توان به همه نواحی چاله‌ها مقدار آب یکسانی اختصاص داد، این است که در آن روش تعداد مراحل بارش باران زیاد است و چاله‌های متنی لبریزشده به پس‌زمینه متصل می‌شوند و از بین می‌روند.

1. Proposed Water Amount  
2. Partial Text Region

### ۱-۳ پیاده‌سازی سریع الگوریتم‌های تخمین روشنایی

به منظور کاهش حجم محاسبات، از الگوریتم ارائه شده در [۲۱] برای تخمین روشنایی پس زمینه و متن استفاده می‌کنیم. در این مرجع از تصویر تجمعی برای محاسبه میانگین همسایگی‌ها در یک تصویر استفاده شده است. روشنایی تصویر تجمعی در هر پیکسل به صورت مجموع روشنایی پیکسل‌های بالا و سمت چپ آن پیکسل تعریف می‌شود و با (۸) به صورت ریاضی بیان می‌شود

$$I(x, y) = \sum_{i=-w}^w \sum_{j=-w}^w g(i, j) \quad (8)$$

به دست آوردن تصویر تجمعی با یک بار روشن تصویر و با انجام سه عمل جمع بهازای هر پیکسل قبل اجراست و محاسبه متوسط روشنایی پیکسل‌های واقع در داخل پنجره‌ای به ابعاد  $(1+2w) \times (1+2w)$  طبق (۹) انجام می‌شود که مستقل از ابعاد پنجره، بهازای هر پیکسل ۳ عمل جمع و یک عمل تقسیم مورد نیاز است. در این رابطه  $M$  بیانگر متوسط روشنایی پیکسل‌های داخل پنجره است. این الگوریتم بدون هیچ تغییری برای تخمین روشنایی پس زمینه قابل اجراست. تخمین روشنایی پس زمینه برای هر پیکسل با ۶ عمل جمع و ۱ عمل تقسیم انجام می‌شود. تخمین روشنایی متن اندکی متفاوت است زیرا فقط از روشنایی پیکسل‌های متنی استفاده می‌شود. برای پیاده‌سازی آن ابتدا با ضرب درایه به درایه تصاویر  $g$  و  $PRT$ ، تصویری حاصل می‌شود که روشنایی نواحی متنی بارز از تصویر اصلی جایگزین و روشنایی سایر پیکسل‌ها صفر می‌شود. حال با اعمال الگوریتم [۲۱] بر تصویر حاصل، مجموع روشنایی پیکسل‌های متنی داخل پنجره به دست می‌آید. به همین ترتیب با استفاده از تصویر  $PRT$ ، تعداد پیکسل‌های متنی داخل پنجره نیز به دست می‌آید. با تقسیم مجموع روشنایی پیکسل‌های متنی داخل پنجره بر تعداد آنها، روشنایی متن تخمین زده می‌شود. با این الگوریتم برای تخمین روشنایی متن برای هر پیکسل ۱۲ عمل جمع و ۱ عمل تقسیم مورد نیاز است.

### ۴- محاسبه آستانه و دودویی کردن تصویر

در این تحقیق برای هر پیکسل از تصویر با توجه به تخمین روشنایی نواحی متنی و پس زمینه، طبق (۱۰) یک آستانه جداگانه محاسبه می‌شود

$$T(x, y) = \begin{cases} \frac{BM(x, y) + FM(x, y)}{2} & FM(x, y) \geq 0 \\ . & \text{otherwise} \end{cases} \quad (10)$$

بنابراین در آن نواحی که متن وجود دارد، متوسط روشنایی تخمینی پس زمینه و متن به عنوان آستانه در نظر گرفته می‌شود و در نواحی دور از متن، آستانه برابر با صفر قرار داده می‌شود تا به طور کامل پس زمینه را حذف کند.

تصویر دودویی با استفاده از (۱۱) تولید می‌شود

$$\text{Binary}(x, y) = \begin{cases} 1 & \text{if } g(x, y) \geq T(x, y) \\ 0 & \text{otherwise} \end{cases} \quad (11)$$

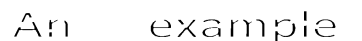
که در آن نشان‌دهنده تصویر دودویی نهایی است. در شکل ۷ تصویر دودویی حاصل از الگوریتم پیشنهادی برای تصویر شکل ۲-الف نشان داده شده است.

$$M(x, y) = \frac{I(x+w, y+w) - I(x+w, y-w) - I(x-w, y+w) + I(x-w, y-w)}{(2w+1) \times (2w+1)} \quad (9)$$



Smudged region

(الف)



Faint region



Smudged region

(ب)

شکل ۶ استخراج قسمت‌هایی از نواحی متنی تصویر شکل ۲-الف، (الف) با روش بارش باران پایه پس از یک مرحله بارش و (ب) با روش بارش باران پیشنهادی.

فرض کنید که روشنایی تصویر اصلی با  $g$  و روشنایی تخمینی برای نواحی متنی با  $FM$  نشان داده می‌شود و از ناحیه‌ای مربعی به ابعاد  $(1+2w) \times (1+2w)$  برای تخمین روشنایی متن در مرکز پنجره استفاده می‌شود. ابتدا وجود پیکسل متنی در داخل ناحیه مربعی برسی می‌شود.

اگر  $\sum_{i=-w}^{i=w} \sum_{j=-w}^{j=w} PRT(x+i, y+j) > 0$  برقرار باشد، نشان‌دهنده وجود پیکسل متنی در داخل ناحیه مربعی است و از (۶) برای تخمین روشنایی متن استفاده می‌شود

$$FM(x, y) = \frac{\sum_{i=-w}^{i=w} \sum_{j=-w}^{j=w} g(x+i, y+j) \times PRT(x+i, y+j)}{\sum_{i=-w}^{i=w} \sum_{j=-w}^{j=w} PRT(x+i, y+j)} \quad (6)$$

$= \sum_{i=-w}^{i=w} \sum_{j=-w}^{j=w} PRT(x+i, y+j)$  نشان‌دهنده این است که در داخل ناحیه مربعی، پیکسل متنی وجود ندارد و روشنایی ناحیه متنی به صورت  $FM(x, y) = 0$  تعریف می‌شود. تفسیر (۶) این است که از متوسط روشنایی نواحی متنی داخل یک ناحیه کوچک به عنوان تخمین روشنایی متن استفاده می‌شود.

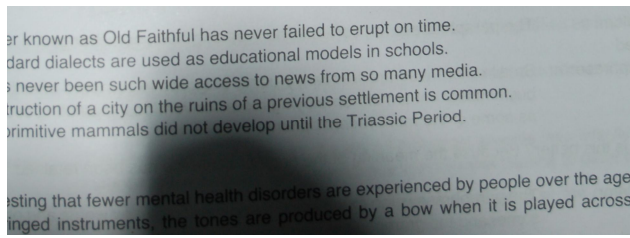
همچنین روشنایی پس زمینه که با  $BM$  نمایش داده می‌شود، با استفاده از (۷) تخمین زده می‌شود

$$BM(x, y) = \frac{\sum_{i=-w}^{i=w} \sum_{j=-w}^{j=w} g(x+i, y+j)}{(2w+1) \times (2w+1)} \quad (7)$$

برای تخمین روشنایی پس زمینه از پیکسل‌های متنی و پس زمینه داخل یک پنجره با ابعاد  $(1+2w) \times (1+2w)$  استفاده می‌شود. دلیل پذیرفتن این تقریب آن است که تعداد پیکسل‌های متنی در مقایسه با پیکسل‌های پس زمینه خیلی کم است و تأثیر چندانی در تقریب پس زمینه ندارد.

در این مقاله  $w = 25$  و  $w = 50$  در نظر گرفته شده است. همان طور که از روابط مشخص می‌شود برای تخمین روشنایی پس زمینه هر پیکسل ۱۰۰۰۰ جمع و برای تخمین روشنایی متن در هر پیکسل حداقل ۲۵۰۰ جمع لازم است و با این حجم محاسبات، الگوریتم پیشنهادی کاربردی نخواهد بود و باید روشی برای کاهش میزان محاسبات پیدا شود.

1. Foreground Model
2. Background Model



شکل ۸: دو نمونه از تصاویر استفاده شده برای ارزیابی با نرمافزار نویسه‌خوان، (الف) تصویر متى با پس‌زمینه غیر یکنواخت و (ب) تصویر متى با تباين کم.

تعداد حروفی که با استفاده از آستانه‌یابی کلی استخراج نمی‌شود در مقایسه با روش پیشنهادی خیلی زیاد است، روش پیشنهادی در مجموع بر این روش آستانه‌یابی نیز برتری دارد. دو نمونه از تصاویر استفاده شده برای این ارزیابی در شکل ۸ نشان داده شده است.

## ۲-۵ ارزیابی بصری

هدف اصلی این تحقیق ارائه روشی برای دودویی کردن تصاویر متى است بهنحوی که ایجاد شکستگی در حروف و به هم چسبیدن آنها را کمینه کند، همچنین پس‌زمینه را به طور مناسب حذف کند و نواحی با تباين کم را مانند سایر نواحی دودویی کند. لذا این معیارها برای ارزیابی بصری روش پیشنهادی استفاده می‌شوند.

برای ارزیابی بصری، ۳۰ تصویر متى آسیب‌دیده با روش‌های آستانه‌یابی مختلف دودویی شده و مقایسه می‌شوند. در شکل ۹ نتیجه دودویی کردن یک نمونه تصویر متى آسیب‌دیده با روش‌های مختلف نشان داده شده است. نتایج ارزیابی نشان می‌دهد روش آستانه‌یابی کلی [۱] نواحی تیره پس‌زمینه را سیاه می‌کند و متن موجود در این نواحی به طور کامل از بین می‌روند. روش [۷] متن را به خوبی استخراج می‌کند ولی در نواحی که متن وجود ندارد نیز پس‌زمینه تقویت شده و به عنوان متن برچسب زده می‌شود. روش [۵] برای استخراج نواحی متى با تباين کم مناسب نیست و باعث ایجاد شکستگی در حروف و یا حذف کامل آنها می‌شود. روش بارش باران [۲۰] برای استخراج متن از تصاویری که تعییرات روشنایی پس‌زمینه آنها خیلی زیاد است، مناسب نیست. زیرا مقدار آب زیادی در نواحی تیره پس‌زمینه جمع می‌شود و پس از آستانه‌یابی مقدار آب، این نواحی برچسب متن می‌گیرند و همچنین نواحی متى با تباين کم حذف می‌شوند. روش پیشنهادی به تباين بین متن و پس‌زمینه وابستگی ندارد و با کیفیت خوبی نواحی متى را استخراج و پس‌زمینه را حذف می‌کند. تصاویری که با دوربین گرفته شده‌اند و تباين بین متن و پس‌زمینه در نواحی مختلف آنها متفاوت است با روش پیشنهادی به خوبی دودویی می‌شود در حالی که سایر روش‌های بررسی شده قادر به دودویی کردن این تصاویر نیستند.

## ۶- نتیجه‌گیری

در این مقاله روشی مستقل از تباين برای دودویی کردن تصاویر متى ارائه شد که از چندین مرحله تشکیل می‌شود. در مرحله اول با ایجاد تعییرات در مدل بارش باران و با یک مرحله بارش قسمت‌های بارز نواحی

# An example

## Faint region

## Smudged region

شکل ۷: تصویر دودویی با استفاده از الگوریتم پیشنهادی برای تصویر شکل ۲-الف.

جدول ۱: مقایسه کمی روش پیشنهادی با ۴ روش معروف آستانه‌یابی.

	Otsu [۱]	Niblack [۷]	Sauvola [۵]	Kim [۲۰]	روش پیشنهادی
N1	۴۸۲۵	۵۲۴۴	۴۳۴۱	۴۹۰۷	۵۳۹۷
N2	۳۷	۳۱	۷۰۷	۱۰۶	۹
N3	۵۴۶	۱۳۳	۳۳۰	۳۹۵	۲
N4	۲	۳۵۷	۶۲	۱۹	۱۳

## ۵- نتایج تجربی و مقایسه با کارهای گذشته

متاسفانه روش مشخصی برای ارزیابی روش‌های دودویی کردن تصاویر متى وجود ندارد و در مراجع مختلف از روش‌های متفاوتی استفاده شده است. در [۲۰] و [۲۲] از معیار ارزیابی بصری و در [۴] از دقت بازناسی متن در تصویر دودویی توسط نرم‌افزارهای نویسه‌خوان برای ارزیابی استفاده شده است.

در این مقاله برای ارزیابی الگوریتم پیشنهادی آن را با چهار روش معروف آستانه‌یابی مقایسه می‌کنیم. پارامترهای از پیش تعیین شده این روش‌ها مطابق مقادیر ارائه شده در مقاله‌های اصلی تنظیم شده‌اند. مقایسه بر مبنای هر دو روش ارزیابی بصری و دقت بازناسی با استفاده از نرم‌افزار نویسه‌خوان انجام می‌شود.

## ۱-۵ ارزیابی با استفاده از دقت بازناسی حروف

برای انجام مقایسه، تصاویر آسیب‌دیده با روش‌های مختلف دودویی شده و به نرم‌افزار نویسه‌خوان ABBYY FineReader ۹ داده می‌شوند. مقایسه با توجه به خروجی نرم‌افزار انجام می‌شود. در این مقاله از معیارهای زیر برای ارزیابی کمی روش‌های دودویی کردن تصاویر متى استفاده می‌شود که سه معیار N1-N3-N4 از [۲۳] الهام گرفته شده است و معیار N4 را برای بررسی میزان حذف پس‌زمینه می‌پیشنهاد کردیم:

N1: تعداد حروفی که به درستی استخراج و بازناسی می‌شوند.  
N2: تعداد حروفی که قسمت‌هایی از آنها استخراج می‌شود ولی به اشتباه بازناسی می‌شوند.

N3: تعداد حروفی که استخراج نمی‌شوند.  
N4: تعداد لکه‌های پس‌زمینه که به عنوان حرف بازناسی می‌شوند. برای این آزمایش از ۱۰ سند متنی استفاده شده است که دارای ۵۴۰۸ حرff هستند و نتایج ارزیابی در جدول ۱ نشان داده شده است.

در الگوریتم پیشنهادی تعداد حروفی که به طور صحیح استخراج و بازناسی شده‌اند از سایر روش‌های بررسی شده بیشتر است و تعداد حروفی که استخراج نشده و یا به طور اشتباه بازناسی شده‌اند از سایر روش‌ها کمتر است. تنها در حذف قسمت‌هایی از پس‌زمینه که به عنوان حرف بازناسی می‌شوند، روش [۱] نتیجه بهتری می‌دهد که به خاطر ماهیت آستانه‌یابی کلی است. زیرا در روش آستانه‌یابی کلی، قطعه‌هایی از پس‌زمینه که به عنوان متن معرفی می‌شوند خیلی بزرگ‌تر از حروف هستند و توسط نرم‌افزار نویسه‌خوان تشخیص داده می‌شوند. با توجه به این که

پیشنهادی در مقایسه با روش‌های آستانه‌یابی بررسی شده از کیفیت بهتری برخوردار است.

## مراجع

- [1] N. Otsu, "A threshold selection method from grey level histogram," *IEEE Trans. Syst. Man Cybernetics*, vol. 9, no. 1, pp. 62-66, Jan. 1979.
- [2] J. N. Kapur, P. K. Sahoo, and A. K. C. Wong, "A new method for graylevel picture thresholding using the entropy of the histogram," *Computer Vision, Graphics and Image Processing*, vol. 29, no. 3, pp. 273-285, Mar. 1985.
- [3] J. S. Weszka and A. Rosenfeld, "Histogram modification for threshold selection," *IEEE Trans. on Systems, Man, Cybernetics*, vol. 9, no. 1, pp. 38-52, Jan. 1979.
- [4] B. Gatos, I. Pratikakis, and S. J. Perantonis, "Adaptive degraded document image binarization," *Pattern Recognition*, vol. 39, no. 3, pp. 317-327, Mar. 2006.
- [5] J. Sauvola and M. Pietikainen, "Adaptive document image binarization," *Pattern Recognition*, vol. 33, no. 2, pp. 225-236, Feb. 2000.
- [6] J. Bernsen, "Dynamic thresholding of grey-level images," in *Proc. of the 8th Int. Conf. on Pattern Recognition*, pp. 1251-1255, Paris, France, Oct. 1986.
- [7] W. Niblack, *An Introduction to Digital Image Processing*, Prentice Hall, Englewood Cliffs, NJ, pp. 115-116, 1986.
- [8] Y. Yang and H. Yan, "An adaptive logical method for binarization of degraded document images," *Pattern Recognition*, vol. 33, no. 5, pp. 787-807, May 2000.
- [9] M. Kamel and A. Zhao, "Extraction of binary character/graphics images from grayscale document images," *Graphical Models Image Processing*, vol. 55, no. 3, pp. 203-217, May 1993.
- [10] J. M. White and G. D. Rohrer, "Image segmentation for optical character recognition and other applications requiring character image extraction," *IBM J. Research Development*, vol. 27, no. 1, pp. 400-411, Feb. 1983.
- [11] O. D. Trier and T. Taxt, "Improvement of 'Integrated Function Algorithm' for binarization of document images," *Pattern Recognition Letters*, vol. 16, no. 3, pp. 277-283, Mar. 1995.
- [12] S. Rodtook and Y. Rangsanseri, "Adaptive thresholding of document images based on Laplacian sign," in *Proc. Int. Conf. on Information Technology: Coding and Computing*, pp. 501-505, 2-4 Apr. 2001.
- [13] Q. Chena, Q. Suna, P. A. Heng, and D. Xia, "A double-threshold image binarization method based on edge detector," *Pattern Recognition*, vol. 41, no. 4, pp. 1254-1267, Apr. 2008.
- [14] X. Ye, M. Cheriet, and C. Y. Suen, "Stroke-model-based character extraction from gray-level document images," *IEEE Trans. on Image Processing*, vol. 10, no. 8, pp. 1152-1161, Aug. 2001.
- [15] S. Huang, M. Ahmadi, and M. A. Sid-Ahmed, "A hidden Markov model-based character extraction method," *Pattern Recognition*, vol. 41, no. 9, pp. 2890-2900, Sep. 2008.
- [16] O. D. Trier and T. Taxt, "Evaluation of binarization methods for document images," *IEEE Trans. on Pattern Analysis and Machine Intelligence*, vol. 17, no. 3, pp. 312-315, Mar. 1995.
- [17] M. Sezgin and B. Sankur, "Survey over image thresholding techniques and quantitative performance evaluation," *J. of Electronic Imaging*, vol. 13, no. 1, pp. 146-165, Jan. 2004.
- [18] Y. Chen and G. Leedham, "Decompose algorithm for thresholding degraded historical document images," in *IEEE Proc. Vis. Image Signal Processing*, vol. 152, pp. 702-714, Dec. 2005.
- [19] J. R. Parker, "Gray level thresholding in badly illuminated images," *IEEE Trans. on Pattern Analysis and Machine Intelligence*, vol. 13, no. 8, pp. 813-819, Aug. 1991.
- [20] I. K. Kim, D. W. Jung, and R. H. Park, "Document image binarization based on topographic analysis using a water flow model," *Pattern Recognition*, vol. 35, no. 1, pp. 265-277, Jan. 2002.
- [21] F. Shafait, D. Keysers, and T. M. Breuel, "Efficient implementation of local adaptive thresholding techniques using integral images," in *Document Recognition and Retrieval XV*, 2008.
- [22] E. Badekas and N. Papamarkos, "Optimal combination of document binarization techniques using a self-organizing map neural network," *Engineering Applications of Artificial Intelligence*, vol. 20, no. 1, pp. 11-24, Feb. 2007.
- [23] Y. Solihin and C. G. Leedham, "Integral ratio: a new class of global thresholding techniques for handwriting images," *IEEE Trans. Pattern Analysis and Machine Intelligence*, vol. 22, no. 8, pp. 761-768, Aug. 1999.

**1: Examples Deleted**  
The *Acacia*, a genus of trees and shrubs of the *Mimosaceae* family that originated in Australia, is called *wattle* in Australia. The *acacia* is related to the family of plants known as legumes. Some acacias actually produce edible crops. Other acacia varieties are valued for the sticky resin, dense wood, or bark. Of the five hundred species of *Acacia* that grow in hot, dry climates, three hundred are found in Australia, but only twelve flourish in the southern United States. One of its unusual characteristics is that it only flowers in the winter, whether it is planted in the Northern or Southern Hemisphere.

**2: Paraphrased Summary**  
The *Acacia*, called a *wattle* in its native Australia, is a member of the *Mimosaceae* family and a relative of family of plants that includes legumes. Acacias are valuable for wood, resin, and even food crops. Of the five hundred species of *Acacia* that grow in hot, dry climates, three hundred are found in Australia, but only twelve flourish in the southern United States. One of its unusual characteristics is that it only flowers in the winter, whether it is planted in the Northern or Southern Hemisphere.

(الف)

**1: Examples Deleted**  
The *Acacia*, a genus of trees and shrubs of the *Mimosaceae* family that originated in Australia, is called *wattle* in Australia. The *acacia* is related to the family of plants known as legumes. Some acacias actually produce edible crops. Other acacia varieties are valued for the sticky resin, dense wood, or bark. Of the five hundred species of *Acacia* that grow in hot, dry climates, three hundred are found in Australia, but only twelve flourish in the southern United States. One of its unusual characteristics is that it only flowers in the winter, whether it is planted in the Northern or Southern Hemisphere.

**2: Paraphrased Summary**  
The *Acacia*, called a *wattle* in its native Australia, is a member of the *Mimosaceae* family and a relative of family of plants that includes legumes. Acacias are valuable for wood, resin, and even food crops. Of the five hundred species of *Acacia* that grow in hot, dry climates, three hundred are found in Australia, but only twelve flourish in the southern United States. One of its unusual characteristics is that it only flowers in the winter, whether it is planted in the Northern or Southern Hemisphere.

(ب)

**1: Examples Deleted**  
The *Acacia*, a genus of trees and shrubs of the *Mimosaceae* family that originated in Australia, is called *wattle* in Australia. The *acacia* is related to the family of plants known as legumes. Some acacias actually produce edible crops. Other acacia varieties are valued for the sticky resin, dense wood, or bark. Of the five hundred species of *Acacia* that grow in hot, dry climates, three hundred are found in Australia, but only twelve flourish in the southern United States. One of its unusual characteristics is that it only flowers in the winter, whether it is planted in the Northern or Southern Hemisphere.

**2: Paraphrased Summary**  
The *Acacia*, called a *wattle* in its native Australia, is a member of the *Mimosaceae* family and a relative of family of plants that includes legumes. Acacias are valuable for wood, resin, and even food crops. Of the five hundred species of *Acacia* that grow in hot, dry climates, three hundred are found in Australia, but only twelve flourish in the southern United States. One of its unusual characteristics is that it only flowers in the winter, whether it is planted in the Northern or Southern Hemisphere.

(ج)

**1: Examples Deleted**  
The *Acacia*, a genus of trees and shrubs of the *Mimosaceae* family that originated in Australia, is called *wattle* in Australia. The *acacia* is related to the family of plants known as legumes. Some acacias actually produce edible crops. Other acacia varieties are valued for the sticky resin, dense wood, or bark. Of the five hundred species of *Acacia* that grow in hot, dry climates, three hundred are found in Australia, but only twelve flourish in the southern United States. One of its unusual characteristics is that it only flowers in the winter, whether it is planted in the Northern or Southern Hemisphere.

**2: Paraphrased Summary**  
The *Acacia*, called a *wattle* in its native Australia, is a member of the *Mimosaceae* family and a relative of family of plants that includes legumes. Acacias are valuable for wood, resin, and even food crops. Of the five hundred species of *Acacia* that grow in hot, dry climates, three hundred are found in Australia, but only twelve flourish in the southern United States. One of its unusual characteristics is that it only flowers in the winter, whether it is planted in the Northern or Southern Hemisphere.

(د)

**1: Examples Deleted**  
The *Acacia*, a genus of trees and shrubs of the *Mimosaceae* family that originated in Australia, is called *wattle* in Australia. The *acacia* is related to the family of plants known as legumes. Some acacias actually produce edible crops. Other acacia varieties are valued for the sticky resin, dense wood, or bark. Of the five hundred species of *Acacia* that grow in hot, dry climates, three hundred are found in Australia, but only twelve flourish in the southern United States. One of its unusual characteristics is that it only flowers in the winter, whether it is planted in the Northern or Southern Hemisphere.

**2: Paraphrased Summary**  
The *Acacia*, called a *wattle* in its native Australia, is a member of the *Mimosaceae* family and a relative of family of plants that includes legumes. Acacias are valuable for wood, resin, and even food crops. Of the five hundred species of *Acacia* that grow in hot, dry climates, three hundred are found in Australia, but only twelve flourish in the southern United States. One of its unusual characteristics is that it only flowers in the winter, whether it is planted in the Northern or Southern Hemisphere.

(هـ)

**1: Examples Deleted**  
The *Acacia*, a genus of trees and shrubs of the *Mimosaceae* family that originated in Australia, is called *wattle* in Australia. The *acacia* is related to the family of plants known as legumes. Some acacias actually produce edible crops. Other acacia varieties are valued for the sticky resin, dense wood, or bark. Of the five hundred species of *Acacia* that grow in hot, dry climates, three hundred are found in Australia, but only twelve flourish in the southern United States. One of its unusual characteristics is that it only flowers in the winter, whether it is planted in the Northern or Southern Hemisphere.

**2: Paraphrased Summary**  
The *Acacia*, called a *wattle* in its native Australia, is a member of the *Mimosaceae* family and a relative of family of plants that includes legumes. Acacias are valuable for wood, resin, and even food crops. Of the five hundred species of *Acacia* that grow in hot, dry climates, three hundred are found in Australia, but only twelve flourish in the southern United States. One of its unusual characteristics is that it only flowers in the winter, whether it is planted in the Northern or Southern Hemisphere.

(و)

شكل ۹: (الف) تصویر آسیدیده، (ب) تصویر دودویی با روش [۱]، (ج) تصویر دودویی با روش [۷]، (د) تصویر دودویی با روش [۵]، (هـ) تصویر دودویی با روش بارش باران، (۲\*) و (و) تصویر دودویی با روش پیشنهادی.

متنی استخراج می‌شود. در مرحله دوم با استفاده از قسمت‌های بارز نواحی متنی، روشنایی متن به طور محلی روشنایی تخمین زده می‌شود. همچنین با میانگین‌گیری محلی روشنایی تصویر و با در نظر گرفتن این که تعداد پیکسل‌های متنی در مقایسه با پس‌زمینه خیلی کم است، روشنایی پس‌زمینه نیز تخمین زده می‌شود. در مرحله سوم برای هر پیکسل، آستانه به صورت میانگین روشنایی تخمینی پس‌زمینه و متن تعریف می‌شود. این روش آستانه‌یابی از لحظه بصری و کمی با چند روش معروف آستانه‌یابی مقایسه شده و نتایج ارزیابی نشان می‌دهد که برای تصاویر دوربینی روش

احسان‌اله کبیر کارشناسی ارشد پیوسته خود را در مهندسی برق و الکترونیک از دانشکده فنی دانشگاه تهران و دکترای خود را در مهندسی سیستم‌های الکترونیک از دانشگاه اسکس در انگلستان، به ترتیب در سالهای ۱۳۶۴ و ۱۳۶۹ دریافت کرد. او اکنون استاد دانشکده مهندسی برق و کامپیوتر دانشگاه تربیت مدرس است. زمینه‌های پژوهشی مورد علاقه ایشان عبارتند از: بازناسی الگو و آستانه‌یابی تصاویر متغیر.

مرتضی ولی‌زاده کارشناسی و کارشناسی ارشد خود را در مهندسی برق و الکترونیک به ترتیب از دانشگاه صنعتی شاهروود و دانشگاه تربیت مدرس در سالهای ۱۳۸۴ و ۱۳۸۶ دریافت کرد. او از سال ۱۳۸۶ در دانشگاه تربیت مدرس به عنوان داشجوی دکتری مشغول به تحصیل است. زمینه‌های پژوهشی مورد علاقه ایشان عبارتند از: پردازش تصویر، پردازش سیگنال، بازناسی الگو و آستانه‌یابی تصاویر متغیر.

Archive of SID